

**Zeitschrift:** Elemente der Mathematik  
**Herausgeber:** Schweizerische Mathematische Gesellschaft  
**Band:** 9 (1954)  
**Heft:** 6

**Artikel:** Elementargeometrische Modelle zur Differentialgeometrie  
**Autor:** Sauer, R.  
**DOI:** <https://doi.org/10.5169/seals-17363>

#### Nutzungsbedingungen

Die ETH-Bibliothek ist die Anbieterin der digitalisierten Zeitschriften auf E-Periodica. Sie besitzt keine Urheberrechte an den Zeitschriften und ist nicht verantwortlich für deren Inhalte. Die Rechte liegen in der Regel bei den Herausgebern beziehungsweise den externen Rechteinhabern. Das Veröffentlichen von Bildern in Print- und Online-Publikationen sowie auf Social Media-Kanälen oder Webseiten ist nur mit vorheriger Genehmigung der Rechteinhaber erlaubt. [Mehr erfahren](#)

#### Conditions d'utilisation

L'ETH Library est le fournisseur des revues numérisées. Elle ne détient aucun droit d'auteur sur les revues et n'est pas responsable de leur contenu. En règle générale, les droits sont détenus par les éditeurs ou les détenteurs de droits externes. La reproduction d'images dans des publications imprimées ou en ligne ainsi que sur des canaux de médias sociaux ou des sites web n'est autorisée qu'avec l'accord préalable des détenteurs des droits. [En savoir plus](#)

#### Terms of use

The ETH Library is the provider of the digitised journals. It does not own any copyrights to the journals and is not responsible for their content. The rights usually lie with the publishers or the external rights holders. Publishing images in print and online publications, as well as on social media channels or websites, is only permitted with the prior consent of the rights holders. [Find out more](#)

**Download PDF:** 22.02.2026

**ETH-Bibliothek Zürich, E-Periodica, <https://www.e-periodica.ch>**

# ELEMENTE DER MATHEMATIK

Revue de mathématiques élémentaires — Rivista di matematica elementare

*Zeitschrift zur Pflege der Mathematik*

*und zur Förderung des mathematisch-physikalischen Unterrichts*

*Organ für den Verein Schweizerischer Mathematik- und Physiklehrer*

---

El. Math.

Band IX

Nr. 6

Seiten 121–144

Basel, 15. November 1954

---

## Elementargeometrische Modelle zur Differentialgeometrie

Viele differentialgeometrische Eigenschaften der Flächen, insbesondere diejenigen, die sich auf die Metrik in der Flächenhaut und nicht auf die Einbettung der Flächenhaut in den Raum beziehen, lassen sich durch analoge «differenzengeometrische» Eigenschaften elementargeometrischer Modelle (Dreiecks- und Vierecksgitter, Streifenmodelle und dergleichen) veranschaulichen. Durch geeignete Grenzübergänge kann man die elementargeometrischen Modelle und ihre differenzengeometrischen Beziehungen in Flächen und deren differentialgeometrische Beziehungen überführen. Die Bedeutung der differenzengeometrischen Betrachtungsweise liegt aber nicht in der Durchführung dieser prinzipiell einfachen, wenn auch manchmal langwierigen Grenzprozesse, sondern in dem unmittelbaren Einblick, den die differenzengeometrischen Zusammenhänge in fundamentale Begriffe und Beziehungen der Differentialgeometrie vermitteln.

Einen besonders starken Anstoss empfing die im Sinne der Differenzengeometrie «anschauliche» Behandlung der Differentialgeometrie durch SEB. FINSTERWALDER, der 1897 in einem Artikel in den Jahresberichten der Deutschen Mathematikervereinigung über *Mechanische Beziehungen bei der Flächendeformation* eine Fülle von Anregungen für differenzengeometrische Betrachtungen gab. Später haben dann H. GRAF und der Verfasser dieses Aufsatzes als Schüler von SEB. FINSTERWALDER verschiedene Beiträge zur Differenzengeometrie der Flächen geliefert, und in den letzten Jahren hat ausserdem Herr W. WUNDERLICH die Differenzengeometrie erheblich gefördert.

In dem vorliegenden Aufsatz wird versucht, auf Grund der zahlreichen in der Literatur verstreuten Einzelpublikationen einen kurzen zusammenfassenden Überblick über die bemerkenswertesten anschaulichen Ergebnisse der Differenzengeometrie und der hierbei verwendeten elementargeometrischen Modelle zu geben, wobei von erläuternden Figuren ausgiebig Gebrauch gemacht wird.

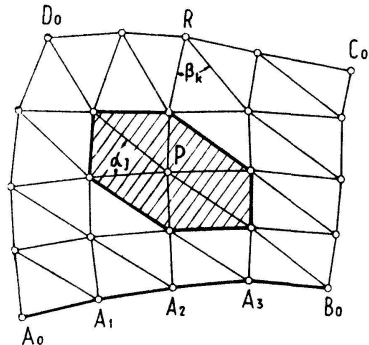
Der erste Abschnitt handelt von Dreiecksgittern und von ebenmaschigen Vierecksgittern; die ersten werden wir zur Veranschaulichung des Gaußschen Krümmungsmassen und des Integralsatzes von GAUSS und BONNET, die letzteren zur Veranschaulichung der Biegungstheorie der Drehflächen, Gesimsflächen, Affinflächen und Voßschen Flächen verwenden. Ein später nachfolgender Abschnitt wird einerseits von ebeneckigen Vierecksgittern und andererseits von Streifenmodellen handeln. Mit ersten kann man die Theorie der infinitesimalen Flächenverbiegung und die Flächen

konstanten negativen Krümmungsmassen, mit letzteren die Differentialgeometrie der Dreh- und Schraubenflächen veranschaulichen.

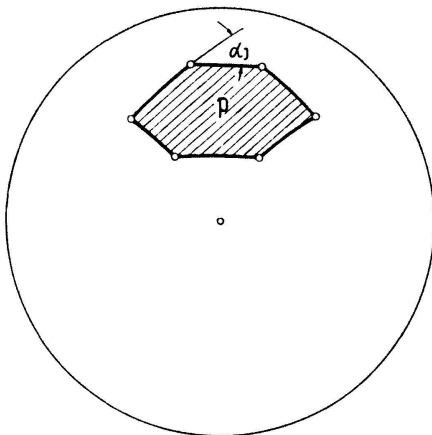
### Dreiecksgitter und ebenmaschige Vierecksgitter

#### § 1. Dreiecksgitter

**1. 1. Definition.** Unter einem Dreiecksgitter verstehen wir ein einfach zusammenhängendes, aus Dreiecken bestehendes Flächenstück, das von zwei Scharen von



Figur 1a



Figur 1b

Leitpolygonen und einer Schar von Diagonalpolygonen erzeugt wird (Figur 1a). Die Leitpolygone liefern ein Vierecksgitter mit im allgemeinen windschiefen Vierecksmaschen, die Diagonalpolygone zerlegen die Vierecksmaschen in Dreieckspaare. Jeder innere Gitterpunkt  $P$  ist sechs Dreiecken gemeinsam, die ein Sechskant mit dem Scheitel  $P$  bilden. Der Rand des Dreiecksgitters besteht aus vier Leitpolygonen.

**1. 2. Krümmungsmass des Dreiecksgitters<sup>1)</sup> in einem inneren Gitterpunkt  $P$ .** Nach Festlegung einer Aussen- und Innenfläche des Gitters kann man in eindeutiger Weise jeder Dreiecksmasche eine «nach aussen» weisende Normale zuordnen, die man sich etwa jeweils im Schwerpunkt angebracht denken mag. Die Parallelen zu diesen Normalen durch den Mittelpunkt einer Einheitskugel liefern zu jedem Dreieck des Gitters einen eindeutig bestimmten Punkt der Einheitskugel als sphärisches Bild. Den sechs in einem inneren Gitterpunkt  $P$  zusammentreffenden Dreiecken entspricht auf diese Weise ein sphärisches Sechseck  $p$  auf der Einheitskugel (Figur 1b). Die Dreieckswinkel  $\alpha_j$  am Gitterpunkt  $P$  sind gleich den Aussenwinkeln des sphärischen Sechsecks; der Flächeninhalt  $\Phi$  des sphärischen Sechsecks ist daher

$$\Phi(P) = 2\pi - \sum_{j=1}^6 \alpha_j(P). \quad (1)$$

Hierdurch wird der Flächeninhalt  $\Phi$  mit Vorzeichen definiert, und zwar auch für sphärische Sechsecke mit sich überschneidendem Rand.

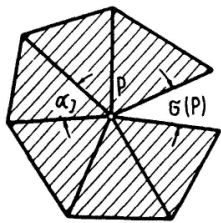
<sup>1)</sup> S. FINSTERWALDER, Jber. Dtsch. Math.-Ver. 6, H. 2, 1–90 (1897).

Ist  $3F(P)$  der – positiv definierte – Flächeninhalt der sechs im Gitterpunkt  $P$  zusammen treffenden Dreiecke, so bezeichnen wir den Ausdruck

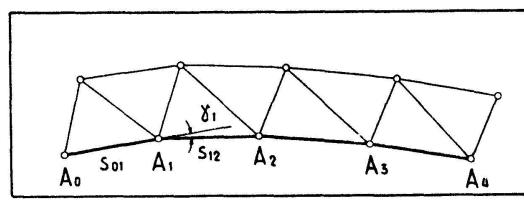
$$K(P) = \frac{\Phi(P)}{F(P)} \quad (2)$$

als Krümmungsmass des Dreiecksgitters im Gitterpunkt  $P$ . Wir nehmen hierbei nur den dritten Teil  $F$  der Summe der sechs Dreiecksinhalte, weil jedes Dreieck, das keinen Punkt mit dem Randpolygon gemeinsam hat, drei Sechskanten um innere Gitterpunkte angehört.

Löst man die sechs in  $P$  zusammen treffenden Dreiecke aus dem Zusammenhang mit dem übrigen Dreiecksgitter und breitet sie nach Aufschneiden längs einer der



Figur 1c



Figur 1d

von  $P$  ausgehenden Kanten in die Ebene aus (Figur 1c), so entsteht in der ebenen Abwicklung ein – positiver oder negativer – Spaltwinkel

$$\sigma(P) = 2\pi - \sum_{j=1}^6 \alpha_j(P). \quad (3)$$

Nach Gleichung (1) ist  $\sigma = \Phi$ , so dass man das Krümmungsmass  $K(P)$  auch durch

$$K(P) = \frac{\sigma(P)}{F(P)} \quad (4)$$

definieren kann.

1. 3. *Geodätische Krümmung eines Leitpolygons.* Löst man die einem Leitpolygon  $A_0 A_1 \dots$  auf einer Seite anliegenden Dreiecke aus dem Zusammenhang mit dem übrigen Gitter und breitet sie in die Ebene aus (Figur 1d), so entsteht in der ebenen Abwicklung ein ebenes Polygon mit den Winkeln  $\gamma_j$  und den Seiten  $s_{j,j+1}$ ; die Winkel  $\gamma_j$  sind nach Festsetzung einer Orientierung des Polygons mit Vorzeichen definiert. Wir bezeichnen den Ausdruck

$$g(A_j) = \frac{\gamma_j}{(s_{j-1,j} + s_{j,j+1})/2} \quad (5)$$

als Abwicklungskrümmung oder geodätische Krümmung des Leitpolygons  $A_0 A_1 \dots$  im Punkt  $A_j$  ( $A_j \neq A_0$  und  $A_j \neq B_0$ ).

Ist das Leitpolygon  $A_0 A_1 \dots$  nicht Bestandteil des Randpolygons des Gitters, so kann man sowohl die auf der einen als auch die auf der anderen Seite anliegenden Dreiecke verwenden und hierdurch eine linksseitige und eine rechtsseitige geodätische Krümmung und schliesslich durch das arithmetische Mittel auch eine mittlere geodätische Krümmung definieren.

Man beachte, dass zur Definition sowohl des Krümmungsmassen als auch der geodätischen Krümmung nur die Seiten und Winkel der Gittermaschen, nicht aber die Keilwinkel der Maschenebenen verwendet werden.

**1. 4. Grenzübergang zur Differentialgeometrie.** Das vorgegebene Dreiecksgitter besteht aus den Sehnen eines Dreiecksnetzes, das auf einer Fläche  $\mathbf{r} = \mathbf{r}(u, v)$  von Kurven

$$u = u_0 \pm n \varepsilon, \quad v = v_0 \pm m \varepsilon, \quad u + v = u_0 + v_0 \pm l \varepsilon \quad (m, n, l = 0, 1, 2, 3, \dots)$$

gebildet wird. Hält man  $u_0, v_0$  fest und lässt mit  $\varepsilon \rightarrow 0$  die Dreiecksnetze der Fläche und ihre Sehnendreiecksgitter immer engmaschiger werden, so konvergiert das Krümmungsmass  $K(P)$  der Dreiecksgitter im inneren Gitterpunkt  $P(u_0, v_0)$  gegen das Gaußsche Krümmungsmass  $K(u, v)$  der Fläche in diesem Punkt. Ebenso konvergiert die – rechtsseitige, linksseitige und mittlere – geodätische Krümmung  $g(P)$  der Leitpolygone im Gitterpunkt  $P(u_0, v_0)$  gegen die geodätische Krümmung  $g(u, v)$  der Kurven  $u = u_0$  und  $v = v_0$  in diesem Punkt.

Dem letzten Satz der Ziffer 1. 3 entspricht die Tatsache, dass sowohl das Krümmungsmass als auch die geodätische Krümmung durch die Metrik in der Fläche bestimmt ist und nicht von der Einbettung der Fläche in den Raum abhängt.

Wir werden auf den hier eingeführten Grenzprozess fortan häufig zurückkommen und werden ihn kurz als «Grenzprozess  $\varepsilon \rightarrow 0$ » bezeichnen.

## § 2. Integralsatz von Gauss und Bonnet

**2. 1. Summensatz<sup>1)</sup> für das Krümmungsmass in den inneren Gitterpunkten und die geodätische Krümmung des Randpolygons eines Dreieckgitters.** In einem aus  $2m n$  Dreiecken bestehenden Dreieckgitter (Figur 1a) bezeichnen wir mit  $\alpha_i$  die Dreieckswinkel in den inneren Gitterpunkten  $P$  und mit  $\beta_k$  die Dreieckswinkel in den Punkten  $R$  des Randpolygons. Die Winkelsumme

$$\sum \alpha_i + \sum \beta_k = 2m n \pi$$

liefert, wenn wir in den Innenpunkten  $P$

$$\sum_{j=1}^6 \alpha_j(P) = 2\pi - \sigma(P)$$

und in den Randpunkten  $R$

$$\sum \beta_j(R) = \pi - \gamma(R)$$

setzen, die Beziehung

$$2\pi(n-1)(m-1) - \sum \sigma(P) + 2(n+m)\pi - \sum \gamma(R) = 2m n \pi,$$

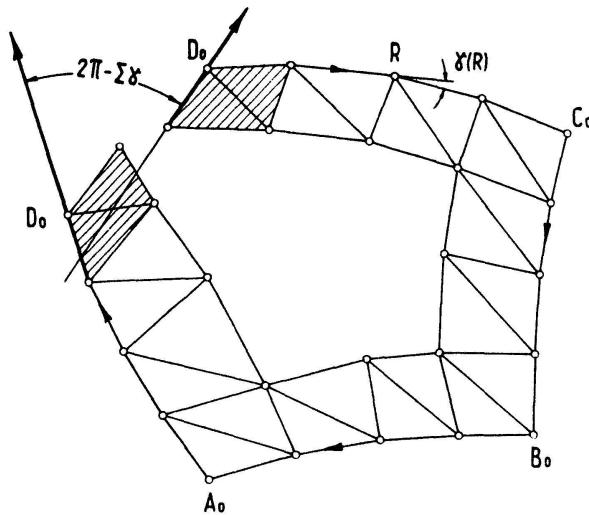
also

$$\sum \sigma(P) + \sum \gamma(R) = 2\pi. \quad (6)$$

Hierbei ist  $\sum \sigma(P)$  die Summe der Spaltwinkel in den Innenpunkten des Dreiecksgitters (vgl. Figur 1c).  $\sum \gamma(R)$  ist die Summe der Polygonwinkel des ebenen Polygons, das sich aus dem Randpolygon des Dreiecksgitters dadurch ergibt, dass man

<sup>1)</sup> R. SAUER, Sitz.-Ber. Bayer. Akad. Wiss., math.-naturw. Abt. 1928, 97–104, und 1929, 307–324; ferner Mh. Math. Phys. 45, 358–365 (1937).

den Kranz der dem Randpolygon anliegenden Dreiecke in die Ebene ausbreitet (Figur 2); die beiden in Figur 2 schraffierten Dreieckspaare kommen miteinander zur Deckung, wenn man den in die Ebene ausgebreiteten Dreiecksrand wieder auf das Dreiecksgitter im Raum auflegt. Die Winkel  $\gamma(R)$  werden positiv gerechnet, wenn bei dem in Figur 2 durch Pfeile gekennzeichneten Fortschreiten auf dem Randpolygon die Polygonseiten sich im Uhrzeigersinn drehen; natürlich müssen auch die Winkel  $\gamma$  in den Punkten  $A_0, B_0, C_0, D_0$  mitgerechnet werden.



Figur 2

**2. 2. Grenzübergang zur Differentialgeometrie.** Bei dem Grenzprozess  $\varepsilon \rightarrow 0$  konvergieren

$$\sum \sigma(P) \rightarrow \iint K(u, v) df \quad (\text{curvatura integra}), \quad \sum \gamma(R) \rightarrow \oint g(s) ds; \quad (7)$$

$df$  = Flächenelement,  $s$  = Bogenlänge der Randkurve. Beim zweiten Integral sind an etwaigen Knickstellen der Randkurve die Knickwinkel mit einzubeziehen. Solche Knickstellen können beim Grenzübergang nicht nur in den Punkten  $A_0, B_0, C_0, D_0$ , sondern auch an anderen Punkten der Randkurve auftreten. Ebenso aber kann sich beim Grenzprozess eine durchweg glatte Randkurve ohne Knickstellen ergeben; in diesem Fall konvergieren die Dreieckswinkel bei  $A_0$  und  $C_0$  und die Dreieckswinkelpaare bei  $B_0$  und  $D_0$  gegen  $\pi$ . Durch Einsetzen der Grenzwerte (7) geht der Summensatz (6) in

$$\iint K(u, v) df + \oint g(s) ds = 2\pi, \quad (8)$$

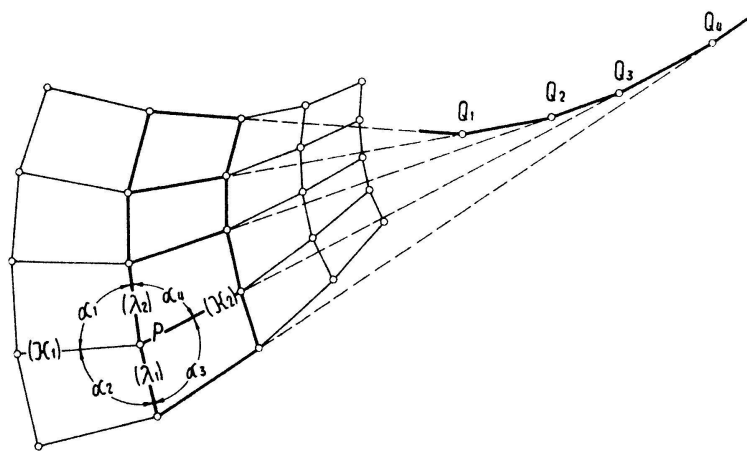
das heisst in den Integralsatz von GAUSS und BONNET über.

### § 3. Ebenmaschige Vierecksgitter

**3. 1. Definition.** Wie in Ziffer 1. 1 gehen wir von zwei Scharen von Leitpolygonen aus, setzen jetzt aber voraus, dass diese Leitpolygone ein Vierecksgitter mit ebenen Vierecksmaschen erzeugen (Figur 3a). Jeder innere Gitterpunkt  $P$  ist dann Scheitel eines Vierkants mit den Seitenwinkeln  $\alpha_1, \alpha_2, \alpha_3, \alpha_4$  und den Keilwinkeln  $\kappa_1, \kappa_2, \lambda_1, \lambda_2$ .

Die Vierecksseiten, welche die Gitterpunkte zweier benachbarter Leitpolygone verbinden – wir bezeichnen sie kurz als Querseitenfolge –, liegen paarweise in einer Ebene. Die Geraden, in denen diese Vierecksseiten liegen, umhüllen also ein Polygon  $Q_1 Q_2 \dots$ . Es kann zu einem eigentlichen oder uneigentlichen Punkt entarten; die Geraden bilden dann eine Pyramide oder ein Prisma.

**3. 2. Verknickungen.** Unter Verknickungen eines Dreiecks- oder Vierecksgitters verstehen wir Deformationen, bei denen die einzelnen Dreiecks- bzw. Vierecksmaschen starr bleiben, jedoch gegeneinander um ihre gemeinsamen Seiten verdreht werden dürfen. Dreiecksgitter lassen im allgemeinen unendlich viele Verknickungen zu,



Figur 3a

ebenmaschige Vierecksgitter dagegen sind, wenn sie aus mindestens  $3 \cdot 3$  Vierecksmaschen bestehen, im allgemeinen nicht verknickbar. Spezielle ebenmaschige Vierecksgitter, bei denen Verknickungen möglich sind, werden wir in den Paragraphen 4 und 5 besprechen.

**3. 3. Grenzübergang zur Differentialgeometrie.** Wir betrachten das Sehnen-Vierecksgitter eines Kurvennetzes, das auf der Fläche  $\mathbf{r} = \mathbf{r}(u, v)$  von den Parameterkurven

$$u = u_0 \pm n \varepsilon, \quad v = v_0 \pm m \varepsilon$$

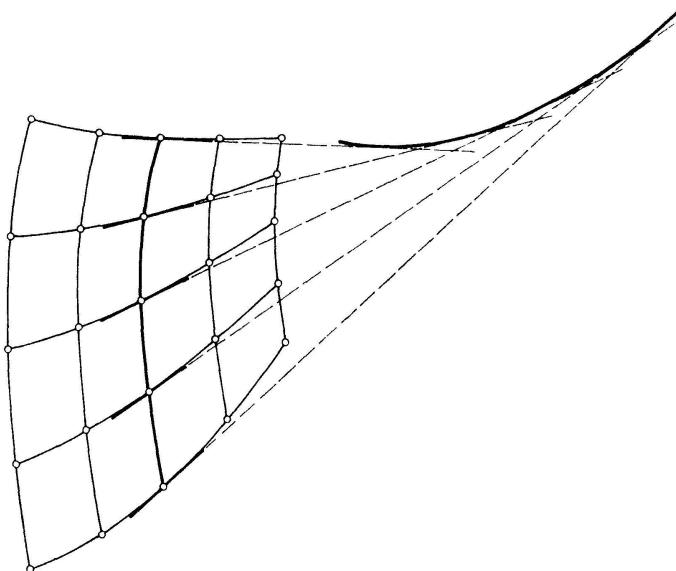
gebildet wird. Die Parameterkurven sind als zueinander konjugiert vorausgesetzt, das heisst, ihre Quertangentenfolgen (Figur 3b) erzeugen Torsen (Tangentenflächen von Raumkurven, Kegel- oder Zylinderflächen).

In besonderen Fällen (zum Beispiel bei den in § 4 behandelten konjugierten Kurvennetzen) sind die Sehnenvierecke eines konjugierten Kurvennetzes eben. Der in § 1. 4 eingeführte Grenzprozess  $\varepsilon \rightarrow 0$  liefert dann eine Folge ebenmaschiger Vierecksgitter, die gegen das vorliegende konjugierte Kurvennetz konvergieren. Hierbei gehen die Querseitenfolgen des Gitters in die Quertangentenfolgen des Netzes über.

Im allgemeinen jedoch (zum Beispiel in dem in § 5 behandelten Fall) sind die Sehnenvierecke eines konjugierten Netzes nicht eben. Sie werden jedoch beim Grenzprozess  $\varepsilon \rightarrow 0$  in der Ordnung  $\varepsilon^2$  eben, während die Sehnenvierecke eines nichtkonjugierten Netzes nur in der Ordnung  $\varepsilon$  eben werden. Wenn man auch in diesen Fällen das konjugierte Netz als Limes einer Folge ebenmaschiger Vierecksgitter erhalten

will, muss man den Grenzprozess  $\varepsilon \rightarrow 0$  etwa in folgender Weise modifizieren: Man konstruiert zum Kurvennetz mit dem Parameterwert  $\varepsilon$  jeweils dasjenige ebenmaschige Gitter, welches die Sehnenpolygone der Kurven  $u = u_0$  und  $v = v_0$  als Leitpolygone hat und bei dem auch die Seiten aller übrigen Leitpolygone beider Scharen dieselbe Länge haben wie die entsprechenden Sehnen des Kurvennetzes.

Die ebenmaschigen Vierecksgitter sind hiernach das differenzengeometrische Analogon der konjugierten Kurvennetze auf Flächen  $r = r(u, v)$ , den Querseitenfolgen des Gitters, welche Polygone umhüllen, entsprechen die Quertangentenfolgen des Kurvennetzes, welche Kurven umhüllen.



Figur 3b

Den Verknickungen der Dreiecks- und ebenmaschigen Vierecksgitter entsprechen beim Grenzprozess  $\varepsilon \rightarrow 0$  Verbiegungen der Flächen  $r = r(u, v)$ . Insbesondere entsprechen den Verknickungen der ebenmaschigen Vierecksgitter solche Verbiegungen, bei denen das  $(u, v)$ -Kurvennetz konjugiert bleibt. Ebenso wie ein ebenmaschiges Vierecksnetz im allgemeinen nicht verknickbar ist, lässt sich eine Fläche im allgemeinen nicht derart verbiegen, dass ein auf der Fläche vorgegebenes konjugiertes Kurvennetz konjugiert bleibt.

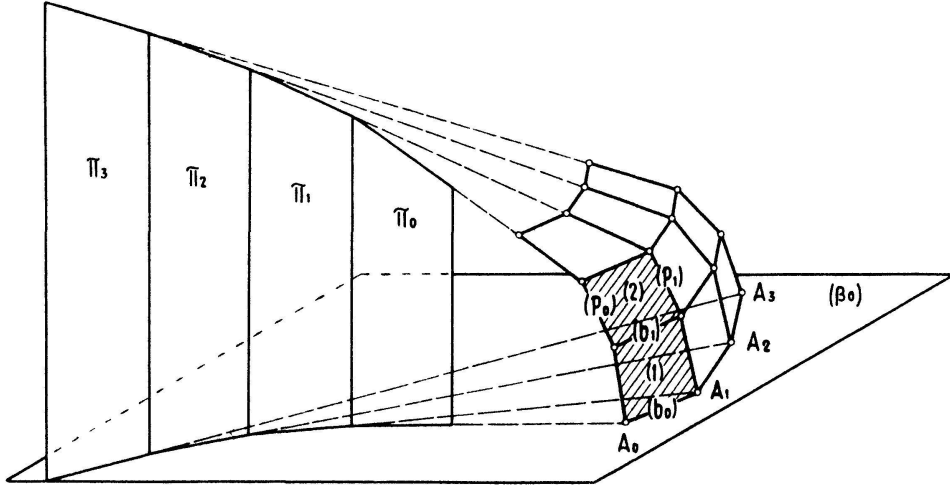
#### § 4. Verbiegung der Dreh-, Gesims- und Affinflächen

**4. 1. Definition der Trapezgitter<sup>1)</sup>.** Wir wenden uns nun zu speziellen ebenmaschigen Vierecksgittern, den sogenannten Trapezgittern. Sie werden folgendermassen definiert (Figur 4):

Vorgegeben seien in zwei zueinander senkrechten Ebenen  $(\beta_0)$  und  $(\pi_0)$  zwei Polygone  $b_0$  und  $p_0$  mit der gemeinsamen Ecke  $A_0$ , ausserdem eine Folge weiterer zu  $(\beta_0)$  senkrechter Ebenen  $(\pi_1), (\pi_2), \dots$ , welche die Ecken  $A_1, A_2, \dots$  des Polygons  $b_0$  enthalten. Alsdann wird das Polygon  $p_0$  durch Parallele zu  $A_0A_1$  in die Ebene  $(\pi_1)$  projiziert; das hierbei in  $(\pi_1)$  entstandene Polygon  $p_1$  wird ebenso durch Parallele zu

<sup>1)</sup> R. SAUER und H. GRAF, Math. Ann. 105, 512–527 (1931).

$A_1 A_2$  in die Ebene  $(\pi_2)$  projiziert und so fort. Das auf diese Weise erzeugte Trapezgitter hat als Leitpolygone die zueinander affinen «Profilpolygone»  $p_0, p_1, p_2, \dots$  in den zu  $(\beta_0)$  senkrechten Ebenen  $(\pi_0), (\pi_1), (\pi_2), \dots$  und die in  $(\beta_0)$  und zu  $(\beta_0)$  parallelen Ebenen  $(\beta_1), (\beta_2), \dots$  liegenden «Bahnpolygone»  $b_0, b_1, b_2, \dots$ , deren Seiten zueinander parallel sind. Die Ebenen  $(\pi_0), (\pi_1), (\pi_2), \dots$  umhüllen das «Leitprisma» des Trapezgitters.



Figur 4

4.2. *Klassifikation der Trapezgitter.* Je nach Vorgabe des Bahnpolygons  $b_0$  und des Leitprismas ergeben sich folgende Fälle (Figur 5):

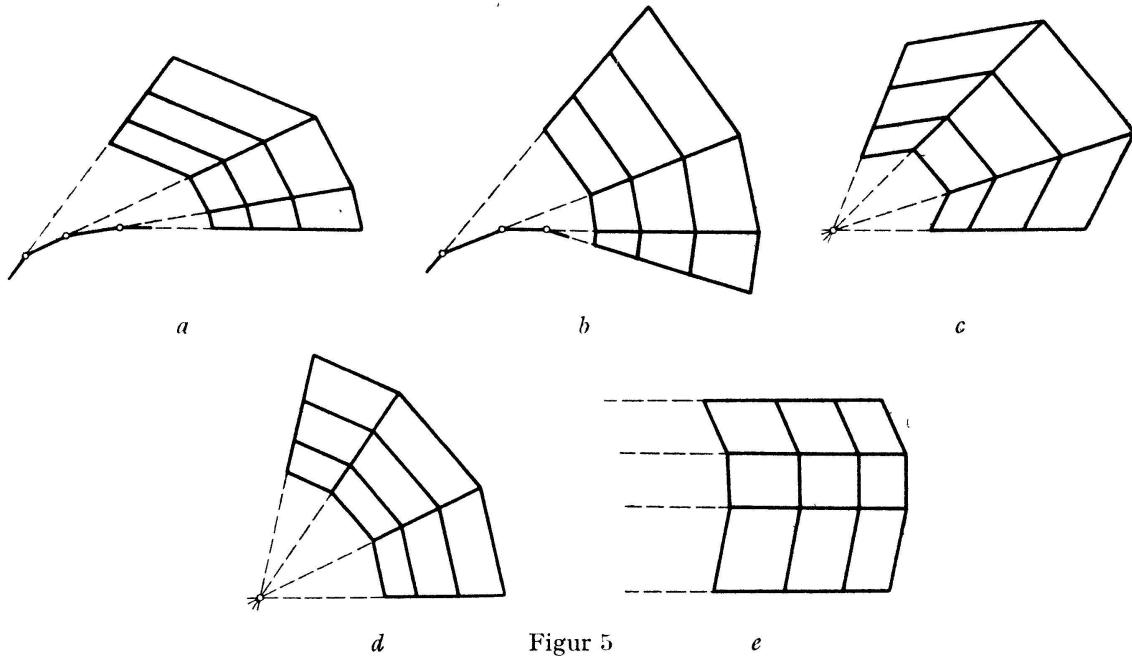
- |                |                                                                                                 |                                                                                                                                  |
|----------------|-------------------------------------------------------------------------------------------------|----------------------------------------------------------------------------------------------------------------------------------|
| (a) }<br>(b) } | Leitprisma nicht entartet<br>Leitprisma entartet in eine eigentliche Gerade<br>(Leitachse)      | { Trapeze nicht gleichschenklig,<br>{ Trapeze gleichschenklig;<br>{ Trapeze nicht gleichschenklig,<br>{ Trapeze gleichschenklig; |
| (c) }<br>(d) } | Leitprisma entartet in eine uneigentliche Gerade;<br>Trapeze zu Parallelogrammen spezialisiert. |                                                                                                                                  |

Die Grundrisse sind in Figur 5 dargestellt. Bei (b) und (d) sind die Profilpolygone kongruent; bei (d) gehen sie durch Drehung um die Leitachse, bei (b) durch Abrollen der Profilebene am Leitprisma auseinander hervor. Bei (e) sind die Leitpolygone jeder der beiden Scharen kongruent und gehen durch Parallelverschiebung auseinander hervor.

4.3. *Verknickung der Trapezgitter.* Die in Ziffer 4.1 definierten Trapezgitter sind nicht starr, sondern lassen eine einparametrische Gruppe von Verknickungen zu. Bei diesen Verknickungen entstehen aus den Trapezgittern der Klassen (a) bis (e) von Ziffer 4.2 immer wieder Trapezgitter derselben Klasse.

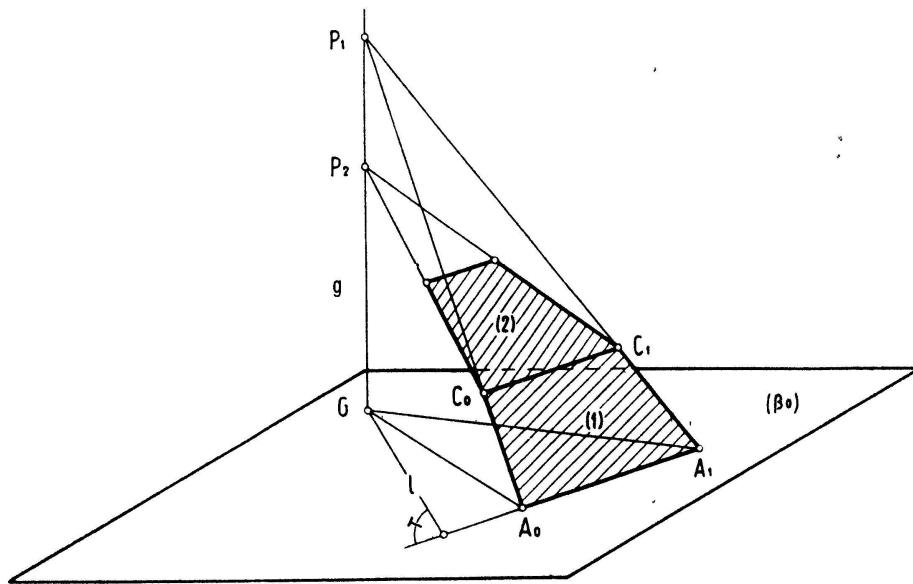
Die Verknickungen ergeben sich folgendermassen (Figur 6): In Figur 6 sind die beiden in Figur 4 schraffierten Trapeze (1), (2) nochmals dargestellt; die Trapezschenkel sind bis zu ihren Schnittpunkten  $P_1, P_2$  auf der Geraden  $g$ , in der sich die Ebenen  $(\pi_0), (\pi_1)$  schneiden, verlängert. Dreht man das Trapez (1) um die Seite  $A_0 A_1$ , dann verlagert sich der Punkt  $P_1$ , wobei sein Grundriss  $G$  auf einem Lot  $l$  zu  $A_0 A_1$

wandert. Man verschiebt hierauf das Trapez (2) so, dass es mit der Seite  $C_0C_1$  wieder an das Trapez (1) stösst. Hernach dreht man das Trapez (2) um die Seite  $C_0C_1$ , bis der Schnittpunkt  $P_2$  seiner Schenkel, dessen Grundriss  $G$  sich auf dem nämlichen



Figur 5

Lot  $l$  zu  $A_0A_1$  bewegt, wiederum mit dem Grundriss  $G$  des Punktes  $P_1$  zusammenfällt. Bei Forderung stetiger Verknickungen und Beschränkung auf nicht zu grosse Verdrehungswinkel des Trapezes (1) ist durch die Verdrehung des Trapezes (1) die



Figur 6

Verdrehung des Trapezes (2) und die Verdrehung der übrigen Trapeze des Gitters eindeutig festgelegt. Die Verknickungen bilden also in der Tat eine einparametrische Menge mit dem Verdrehungswinkel des Trapezes (1) als Parameter.

Die Verknickung kann so weit getrieben werden, bis entweder die Trapeze zwischen einem Paar benachbarter Profilpolygone oder die Trapeze zwischen einem Paar benachbarter Bahnpolygone in eine gemeinsame Ebene fallen. Figur 7 zeigt das

Modell eines Trapezgitters in diesen beiden Grenzformen der Verknickung und einer Zwischenform.

#### 4. 4. Grenzübergang zur Differentialgeometrie.

Beim Grenzprozess  $\epsilon \rightarrow 0$  gehen die Trapezgitter (a) bis (e) der in Ziffer 4.2 vorgenommenen Klassifikation in folgende Flächen über:

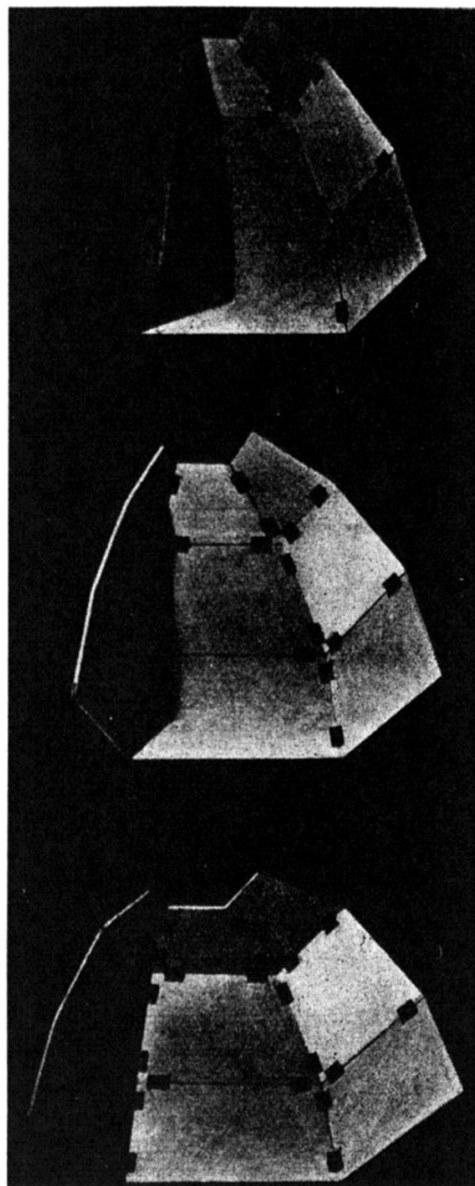
(a) Gesimsaffine Flächen: Sie werden erzeugt von einer Schar zueinander affiner Profilkurven, welche in den Tangentenebenen eines Leitzylinders liegen, und einer Schar von Bahnkurven in Ebenen senkrecht zum Leitzylinder.

(b) Gesimsflächen: Die Bahnkurven sind Orthogonaltrajektorien der Tangentenebenen des Leitzylinders. Die Profilkurven sind infolgedessen kongruent und gehen beim Abrollen der Profilfläche am Leitzylinder auseinander hervor.

(c) Achsenaffine Flächen: Der Leitzylinder entartet zu einer eigentlichen Geraden (Leitachse). Die Profilkurven sind zueinander affin mit der Leitachse als Affinitätsachse, die Bahnkurven sind zueinander ähnlich mit dem Ähnlichkeitszentrum auf der Leitachse.

(d) Drehflächen: Der Leitzylinder entartet zu einer eigentlichen Geraden (Drehachse). Die Profilkurven sind kongruent und gehen durch Drehung um die Leitachse auseinander hervor; die Bahnkurven sind coaxiale Kreise.

(e) Translationsflächen: Der Leitzylinder entartet zu einer uneigentlichen Geraden. Die Leitkurven liegen in zwei zueinander senkrechten Parallelenebenenscharen. Die Leitkurven jeder der beiden Scharen sind kongruent und gehen durch



Figur 7<sup>1)</sup>

Parallelverschiebung auseinander hervor.

Die Profilkurven und Bahnkurven bilden in jedem der Fälle (a) bis (e) ein konjugiertes Kurvennetz. Der einparametrischen Gruppe der Verknickungen der Trapezgitter entspricht eine einparametrische Gruppe von Verbiegungen der Flächen (a) bis (e) in Flächen derselben Klasse, wobei die Profil- und Bahnkurven ihre Eigenschaft beibehalten und konjugiert bleiben<sup>2)</sup>.

<sup>1)</sup> Diese Figur ist mit freundlicher Genehmigung des Springer-Verlages der Arbeit von R. SAUER und H. GRAF, Math. Ann. 105, 522 (1931), entnommen.

<sup>2)</sup> Vgl. hierzu *Enzyklopädie der mathematischen Wissenschaften*, III D 6a, Nr. 26, 24, 23; ferner K. PETERSON, *Über Kurven und Flächen* (Leipzig und Moskau 1868); P. STÖCKEL, Math. Ann. 49, 255–310 (1897); und M. LAGALLY, Sitz.-Ber. Bayer. Akad. Wiss., math.-naturw. Abt., 49, 369–379 (1919).

Den in Figur 7 dargestellten Grenzformen der Verknickungen entsprechen bei den Flächen (a) bis (e) Grenzformen der Verbiegungen, bei denen die Fläche entweder längs einer Profilkurve oder längs einer Bahnkurve eine gemeinsame Tangentenebene besitzt. (Fortsetzung folgt.)

R. SAUER, München.

## Kleine Mitteilungen

### Eine Verallgemeinerung des Delischen Problems

Zu der bekanntermassen mit Zirkel und Lineal unlösbar Aufgabe der Würfelverdopplung (Delisches Problem) ist es eine sinnvolle Verallgemeinerung, drei Würfel zu konstruieren, von denen zwei zusammen so gross sind wie der dritte. Ich will nun dazu einige besonders einfach zu zeichnende Lösungen angeben.

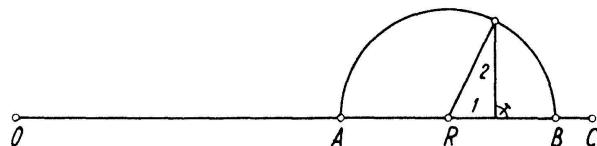
Da eine (nicht aufgehende) Kubikwurzel keine konstruierbare Grösse ist, ist die Aufgabe nur in dieser weiteren Form zu stellen und nicht etwa so, dass zu zwei gegebenen Würfeln der dritte mit der Summe (oder Differenz) der Inhalte verlangt wird. Es muss also zwischen drei *konstruierbaren*, das heisst lediglich mit Hilfe von Quadratwurzeln gebildeten Grössen  $a, b, c$  die Beziehung  $a^3 + b^3 = c^3$  bestehen; und die Aufgabe besteht nun darin, solche Tripel zu finden.

Bei dem nächstliegenden Versuch der Lösung in rationalen Zahlen (also die Würfelseiten in einem passenden ganzzahligen Verhältnis) greift nun eine andere Unmöglichkeit ein; nämlich die des grossen Fermatschen Satzes für den Exponenten 3, wonach die Gleichung  $a^3 + b^3 = c^3$  in ganzen Zahlen unlösbar ist. Wir müssen also für  $a, b, c$  Zahlen aus irgendeinem reellen konstruierbaren Zahlkörper nehmen.

Die einfachsten solchen Körper sind nun die quadratischen  $K(\sqrt{m})$ , und unter ihnen wieder solche mit möglichst kleiner Grundzahl  $m$ . In diesen Körpern ist nun die kubische Fermat-Gleichung lösbar für  $m = 2, 5, 6$  und andere, jedoch unlösbar für  $m = 3, 7, 10$  und andere. Eine besonders einfache Lösung gibt es bei  $m = 5$ :

$$(9 + \sqrt{5})^3 + (9 - \sqrt{5})^3 = 12^3$$

mit folgender geometrischer Konstruktion:



Figur 1

Da  $\sqrt{5}$  die Hypotenuse zu den Katheten 1 und 2 ist, liefern mit  $OR = 9$  die Strecken  $OA, OB, OC = 12$  die drei passenden Würfelseiten.

Eine ganz analoge Konstruktion liefert die Gleichung  $(12 + \sqrt{33})^3 + (12 - \sqrt{33})^3 = 18^3$ , wobei  $\sqrt{33}$  die eine Kathete zur Hypotenuse 7 und der anderen Kathete 4 ist. Ich erwähne ferner noch:

$$42^3 + (17\sqrt{2} - 18)^3 = (17\sqrt{2} + 18)^3, \quad 8^3 + (\sqrt{85} - 1)^3 = (\sqrt{85} + 1)^3,$$

$$18^3 + (-5\sqrt{6} - 6)^3 = (-5\sqrt{6} + 6)^3, \quad 10^3 + (\sqrt{82} - 2)^3 = (\sqrt{82} + 2)^3,$$

wobei  $\sqrt{85}$  Hypotenuse zu 2 und 9 oder zu 6 und 7,  $\sqrt{82}$  Hypotenuse zu 1 und 9 ist.

Solche Beispiele lassen sich beliebig viele herleiten. Nach der Identität

$$[3x^2 + \sqrt{-3(x^4 + 4xy^3)}]^3 + [3x^2 - \sqrt{-3(x^4 + 4xy^3)}]^3 = (-6xy)^3,$$